Vol. 22 No. 3 May 2003

文章编号:1009-038X(2003)03-0041-05

$Clostridium\ paraputrificum\ M-21$ $\beta-N-乙酰氨基葡萄糖苷酶的表达、纯化与性质$

李华钟1, 王树英2, 森本 兼司3, 大宫 邦雄3

(1. 江南大学 工业生物技术教育部重点实验室 江苏 无锡 214036; 2. 江南大学 分析测试中心 江苏 无锡 214036; 3. 三重大学生物资源学部 日本三重县 津市 514-8507)

摘 要:以 Clostridium paraputrificum M21 染色体 DNA 为模板 ,经 PCR 扩增获得编码 β-N-乙酰氨基葡萄糖苷酶的基因 nag3A ,与质粒 pQE30T 所构建的表达质粒 pNAG3A 在 Escherichia coli M15 中表达良好.从重组 E. coli M15 中纯化得到的 Nag3A 以 4-MU-GleNAe 为底物时 ,最适作用温度和最适作用 pH 分别为 50 $^{\circ}$ C和 7.0 i在 30 $^{\circ}$ C以下和 pH 6~9之间该酶活性稳定.对 4-MU-GleNAe 的 K_m 和 V_{max} 分别为 7.9 μ mol 和 21.8 μ mol ℓ min·mg ℓ 0. ℓ 0. ℓ 0 不可以水解几丁寡糖和几丁质 ,作用方式是从非还原端逐一水解 ℓ 0- ℓ 1 ℓ 4-D-N-乙酰氨基葡萄糖苷键 ,产生 ℓ 0-乙酰氨基葡萄糖 ,对几丁二糖具有较高的水解活性.

关键词:β-N-乙酰氨基葡萄糖苷酶 ;类腐败梭菌 ;大肠杆菌 纯化 稳定性

中图分类号: Q 78 文献标识码: A

Expression , Purification and Characterization of β -N-Acetylglucosaminidase of Hydrogen-Producing *Clostridium paraputrificum* M21

LI Hua-zhong 1 , $\,$ WANG Shu-ying 2 , $\,$ MORIMOTO Kenji 3 , OHMIYA Kunio 3

(1. The Key Laboratory of Industrial Biotechnology under Ministry of Education, Southern Yangtze University, Wuxi 214036, China; 2. Testing & Analysis Center, Southern Yangtze University, Wuxi 214036, China; 3. Faculty of Bioresources, Mie University, Tsu 514-8507, Japan)

Abstract: The recombinant plasmid pNAG3A was constructed from the plasmid pQE30T and nag3A gene coding for β-N-Acetylglucosaminidase , and the nag3A was amplified by PCR using the chromosomal DNA of Clostridium paraputrificum M21 as template. The recombinant plasmid expressed well in E. Coli M15. The Nag3A was purified from Escherichia coli M15 harboring pNAG3A. When 4-MU-GlcNAc was used as the substrate , the optimum temperature and optimum pH of the purified enzyme were 50 °C and 7.0 , respectively. The enzyme was stable below 30 °C and within pH 6 ~ 9. The $K_{\rm m}$ and $V_{\rm max}$ for 4-MU-GlcNAc were 7.9 μ mol/L and 21.8 μ mol/(min·mg) , respectively. Nag3A hydrolyzed chitooligosaccharides and ball-milled chitin from the non-reduced end to produce N-acetylglucosamine as the product. Nag3A had high activity on chitobiose.

Key words: β-N-Acetylglucosaminidase; Clostridium paraputrificum; Escherichia coli; purification; stability 从日本三重大学校园土壤中分离得到的类腐 败梭菌 Clostridium paraputrificum M21 是一株革兰氏

收稿日期 2002-12-31; 修回日期 2003-03-28.

基金项目:日本文部科学省大学共同利用基金项目(12794004)资助课题.

作者简介: 查货钟 1958 -) 男 山东龙口人 教授 发酵工程博士研究生.

阳性、能水解几丁质、具有低 GC 含量、可形成芽孢的专性厌氧菌^{1]}. 该菌可以利用不同类型的多糖(如淀粉、纤维素、几丁质等)产生生物能化合物——氢气¹²].

几丁质是自然界中仅次于纤维素的第二丰富 的多聚物 N-乙酰氨基葡萄糖的 β -1,4糖苷键多聚 物).微生物对几丁质的有效降解是通过几丁质酶 (chitinase, EC 3.2.1.14)和 β-N-乙酰氨基葡萄糖苷 酶 β -N-acetylglucosaminidase ,Nag , EC 3.2.1.52)等 的协同作用得以实现[3~10].在含有几丁质的培养基 中培养 C. paraputrificum M-21 时,该菌株可以分泌 几种几丁质酶,而且酶的合成可以被葡萄糖所阻 遏 ^{12]}.研究 C. paraputrificum M-21 的几丁质分解酶 系统的目的是阐明各种酶的结构、功能、在几丁质 降解中的作用以及产酶基因表达的调节等关系.该 菌产几丁质酶 ChiA和 ChiB的基因 chiA和 chiB已 经成功地在 Escherichia coli 中克隆和表达[11~13].作 者对 C. paraputrificum M-21 菌株 β-N-氨基葡萄糖 苷酶产酶基因 nag3A[14]在 E. coli 中的表达、酶的 纯化和酶学性质进行了研究.

1 材料与方法

1.1 细菌菌株、质粒及培养条件

类腐败梭菌 Clostridium. paraputrificum M21 由日本三重大学生物资源学部应用微生物学实验室提供 11 ,作者所在实验室保藏. 该菌株用于提供染色体 DNA. 将该菌置 100 mL 改良 GS 培养基(100 N-乙酰氨基葡萄糖作碳源 11 中于 11 中, 11

1.2 表达质粒 pNAG3A 的构建

为了从 nag3A 基因表达 Nag3A 酶 ,从 pQE30T 质粒构建了重组质粒 pNAG3A. 用于 PCR 扩增 nag3A 的引物分别为 NAG-For: 5 '-GGGGATCCAC-TATTTTAACA GGGAAAAATG-3' 和 NAG-Rev: 5'-GGGTCGACCTATTTATACATTGCTTCAACTAC -3'(带下划线序列分别为 BamHI 和 SalI 位点). PCR 产物经 BamHI 和数据双酶切割后所得片段与经该二酶

切割的 pQE30T 质粒片段经连接酶连接构建成重组表达质粒 pNAG3A.将重组表达质粒转化至 $E.\ coli$ XL1-Blue 扩增 ,所克隆的 DNA 片段经测序排除 PCR 扩增中的突变

1.3 Nag3A 的表达与纯化

将经过测序排除突变的重组表达质粒 pNAG3A 转化 至 E. coli M15 构 建 重 组 子 E. coli M15 (pNAG3A),由此重组子所合成的 Nag 首先用 HiTrap chelating HP column (5 mL; Amersham Pharmacia Biotech)按厂商所提供的操作规程进行纯化.有活性的部分经 pH 8.0、50 mmol/L Tris-HCl 缓冲液透析脱盐后用牛凝血酶处理(10 U/mg NagA)切除(His)。标签 ,再用 HiTrap HP 柱子分离 ,收集未被柱子结合的蛋白质 ,用与上述同样的方法进行透析脱盐.然后再用 MonoQ HR5/5 柱 (0.5 cm × 5 cm; Amersham Pharmacia Biotech)进行分离纯化.

1.4 酶活测定

4-methylumbelliferyl N-acetyl β-D-glucosaminide [4-MU-GlcNAc; Sigma], 4-methylumbelliferyl β-D-N-N'-diacetylchitobioside [4-MU-(GlcNAc), ; Sigma], 和 4-methylumbelliferyl β-D-N-N'-N"- triacetylchitotrioside [4-MU-(GlcNAc), ; Sigma]以 10 mmol/L 的浓度溶解于N,N'-二甲基甲酰胺中,贮存于 – 20 ℃.酶活测定依O' brien 改良法进行^{16]},酶解反应在含有0.1 mmol/L 4-MU-(GlcNAc)的 pH 7.0、10 mmol/L 磷酸缓冲液中进行,反应混合物在37 ℃反应10 min 后加2%的Na₂CO₃溶液终止反应,用 Shimadzu RF-1500(Shimadzu, Tokyo, Japan)炭光分光光度计于激发波长355 nm、散发波长465 nm 下测定所释放的4-methylumbelliferone(4-MU)的量.一个酶活单位定义为每分钟释放1μmol4-MU所需要的酶的量.

1.5 几丁寡糖和几丁质的酶解与产物分析

将几丁寡糖(几丁二糖~几丁六糖,Sigma 公司产品)以 4 mmol/L 的浓度溶解于 pH 7.0、10 mmol/L 磷酸缓冲液中,取 0.1 mL 该溶液加 5 μ g Nag3A,于 37 ℃酶解 6 h,然后用薄层色谱(thin layer chromatography,TLC)检测水解产物.TLC 使用的是玻璃硅胶板(Kieselgel 60,Merck 公司产品),展开剂的组成为 V(正丁醇): V(甲醇): V(氨水): V(水)=5:4:2:1,采用上行二次展开方式.待硅胶板自然风干后喷显色剂(0.4 g 二苯胺 D0.4 mL 苯胺 D3 mL 85%磷酸 D0 mL 丙酮,用前临时配制),于 80 ℃显色 20 min,单糖和各寡糖呈现可见斑点.几丁质(Sigma 公司)经球磨后用 pH 7.0、10 mmol/L 磷酸缓冲液制备成 1%的悬浮液,加入 Nag3A 酶后于 37 ℃酶解过夜,离心后

取上清液经 TLC 进行分析 13].

1.6 蛋白质分析

蛋白质浓度测定采用 Bradford 法 ^{17]},以牛血清白蛋白(bovine serum albumin ,BSA ,Sigma 公司)作标样.

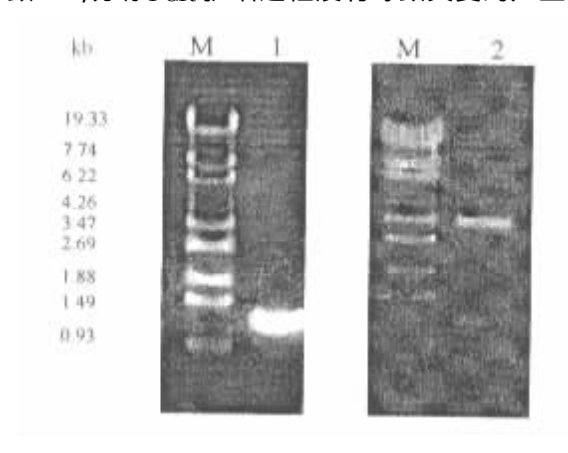
1.7 SDS-PAGE 分析

SDS-PAGE 分析依 Laemmli 法 18 进行.

2 结果与讨论

2.1 表达重组质粒 pNAG3A 的构建

以 C. paraputrificum M21 的染色体 DNA 为模板 经 PCR 扩增获得的 nag3A 基因 DNA 经琼脂糖电泳分析 在长度上与预期值(1189 bp) $^{14]$ 相同(见图 1).经过 Bam HI 和 Sal I 双酶切割后与 pQE30 T连接所构建的表达重组质粒 pNAG3A 经同样的双酶切割分析 ,两个片段的长度与预期值也完全相同(图 1). 质粒 pNAG3A 经 DNA 序列测定分析 ,所插入的NAG3A 的编码基因 nag3A 的序列与原序列一致 $^{14]}$ 说明 PCR 扩增过程没有导致突变的产生.



M,分子量标记; 2, nag3A PCR 扩增产物; 3, pNAG3A 经 BamHI 和 Sal1 水解物

图 1 DNA 琼脂糖凝胶电泳图

Fig.1 Agarose gel electrophoresis of DNA

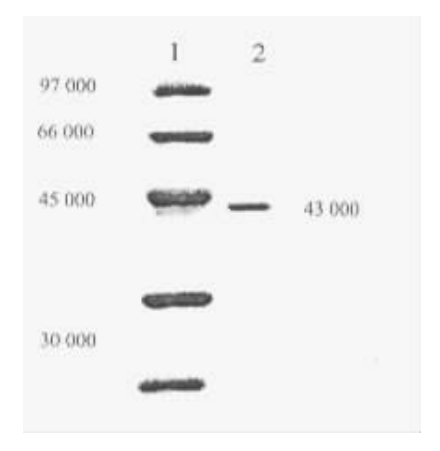
2.2 Nag3A 的表达与纯化

用重组质粒 pNAG3A 转化 $E.\ coli$ M15 获得重组菌株 $E.\ coli$ M15(pNAG3A).由该菌株所合成的酶蛋白经 HiTrap chelating HP 柱纯化后 其组氨酸六肽标签被切除.被切除组氨酸六肽的纯化 Nag 酶蛋白命名为 Nag3A.表 1 酶的纯化结果说明经两种分离柱纯化得到的 Nag3A 被纯化 13.9 倍 ,回收率为 35.8%.纯化酶在 SDS-PAGE 上呈一条谱带,相对分子质量约 43 000(见图 2).

表 1 Nag3A 的纯化结果

Tab.1 Summary of Purification of Nag3A from E. coli M15 harbouring pNAG3A

步骤	总蛋白质 质量/mg			回收率/	纯化 倍数
粗酶	50.8	166.6	3.3	100.0	1.0
HiTrap 纯化	3.9	100.3	25.7	60.2	7.8
MonoQ 纯化	1.3	59.6	45.8	35.8	13.9



1,相对分子质量标记;2,纯化 Nag3A 图 2 纯化 Nag3A 的 SDS-PAGE 图谱 Fig.2 SDS-PAGE of purified Nag3A

2.3 Nag3A 酶学性质

2.3.1 最适反应 pH 用不同 pH 的 40 mmol/L Brittion-Robinson 通用缓冲液(40 mmol/L 磷酸-40 mmol/L 乙酸 ,用 NaOH 调 pH)取代酶活测定方法中的缓冲液进行酶活测定 ,由图 3 的结果可知 ,该酶最适反应 pH 为 7.0.

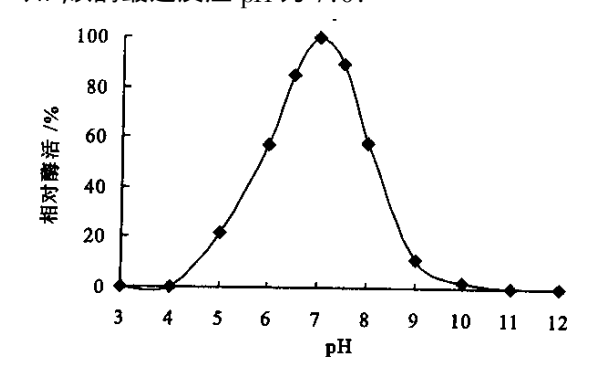


图 3 最适作用 pH 曲线 Fig.3 Effect of pH on activity

2.3.2 pH 稳定性 在不同 pH 的 10 mmol/L 的 Brittion-Robinson 通用缓冲液中经 25 ℃、24 h 处理后 加入 100 mmol/L、pH 7.0 缓冲液恢复 pH ,然后测定酶活 结果见图 4.该酶在 pH 6~9 的范围内稳定.

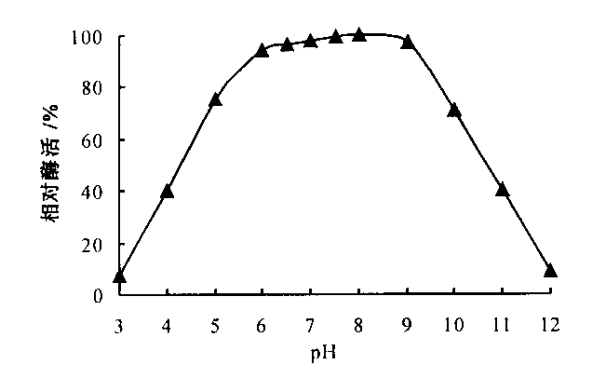


图 4 pH 稳定性曲线

Fig. 4 pH stability curve

2.3.3 最适反应温度 分别用不同的反应温度取代酶活测定方法中的 37 $^{\circ}$ 测定酶活 ,结果显示该酶的最适作用温度为 50 $^{\circ}$,见图 5.

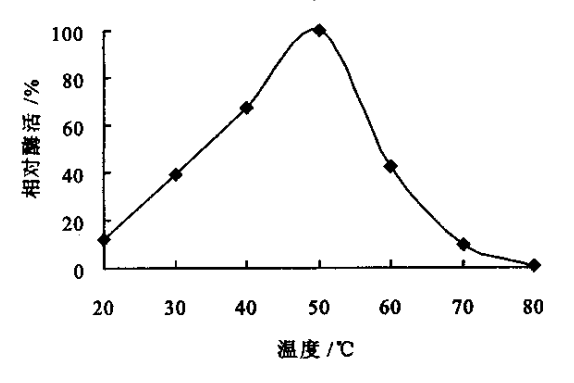


图 5 最适作用温度曲线

Fig. 5 Effect of temperature on activity

2.3.4 温度稳定性 将酶液置于不同温度下保温处理 30 min,然后测定残余酶活 ,结果见图 6. 该酶在 $70 \text{ }^{\circ}\text{}^{\circ}\text{}^{\circ}\text{}^{\circ}\text{}^{\circ}$ 以上完全失去活性 .在 $30 \text{ }^{\circ}\text{}^{\circ}\text{}^{\circ}\text{}^{\circ}$ 心以下的处理对酶活性没有影响 .

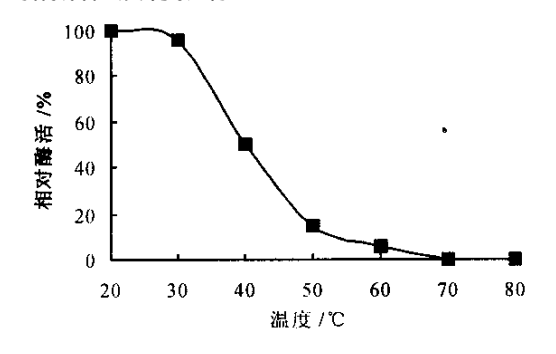


图 6 温度稳定性曲线

Fig.6 Thermal stability curve

2.3.5 金属离子对酶活的影响 向酶活测定反应体系中加入终浓度为 1 mmol/L 的不同金属离子 测定其对酶活的影响.表 2 的结果说明 ,汞离子、铜离子和锌离子可以完全抑制酶活性 ,镍离子、锰离子和铁离子可次都势抑制酶活 ,而铝离子、钡离子、钾

离子、钙离子和镁离子对酶活的影响很小,可以忽略不计.

表 2 金属离子对酶活的影响

Tab.2 Effect of metal ions on activity

	·
金属离子	相对酶活/%
对照	100
MgCl_2	104
CaCl_2	103
KCl	102
BaCl_2	99
AlCl ₃	98
$FeCl_3$	83
MnCl_2	78
NiCl ₂	23
HgCl_2	0
$CuCl_2$	0
ZnCl_2	0

2.3.6 Nag3A 的动力学常数 在 37 $^{\circ}$ C测定了纯化酶对不同浓度(0.1 ,0.5 ,1.0 ,2.0 ,5.0 ,10.0 ,50. 0 ,100 $^{\circ}$ $^{\circ}$ $^{\circ}$ 加(GlcNAc) 4-MU(GlcNAc) 和 4-MU-(GlcNAc) 的反应初速度 ,经 Lineweaver-Burk 绘图得出该酶对 3 种合成底物的 $^{\circ}$ $^{\circ}$

表 3 纯化酶对合成底物的动力学常数

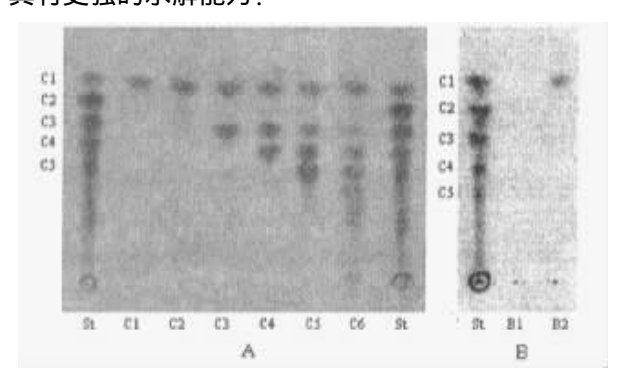
Tab.3 Kinetic constants of the purified Nag3A against synthetic substractes

底 物	比酶活/ (U/mg)	$K_{ m m}$ /($\mu m mol/L$)	$V_{ m max}$ ($\mu m mol / (min \cdot mg)$)
4-MU(GlcNAc)	45.0	7.9	21.8
4-MU-(GlcNAc) ₂	0.88	12.0	1.47
4-MU-(GleNAe)	0.06	15.0	0.02

2.4 Nag3A 对底物的识别

2.4.1 Nag3A 对几丁寡糖和几丁质的水解 Nag3A 对几丁寡糖和球磨几丁质的水解产物的 TLC 分析结果见图 7.图 7显示,Nag3A 可以完全降解几丁二糖(GlcNAc),成 GlcNAc),和(GlcNAc),也具有水解活性,但不能完全降解,例如当以(GlcNAc),为底物时,TLC上检测到(GlcNAc),(GlcNAc),以及未水解的(GlcNAc),但值得注意的是,在所研究的几丁寡糖水解物中均未检测到几丁二糖的存在.该酶也能

水解球磨几丁质生成(GlcNAc) 图 7B). 上述结果说明 Nag3A 是一种既能作用于几丁寡糖,也能作用于高聚合度的几丁质的 β -N-乙酰氨基葡萄糖苷酶,与较高聚合度的几丁寡糖和几丁质相比,该酶对几丁二糖具有更强的水解能力.



St.几丁寡糖标准;C1. GleNAc;C2.(GleNac;C3.(GleNAc;;C4.(GleNac;C5.(GleNAc;;C6.(GleNAc;C1到C6列,几种几丁寡糖经Nag3A的水解物.B1列,球磨几丁质上清液;B2列经Nag3A作用的球磨几丁质的上清液.

图 7 几丁寡糖(A)和球磨几丁质(B)水解产物的 TLC 图谱

Fig.7 Thin layer chromatography of hydrolysis products from chitooligosaccharides (A) and ball-milled chitin(B).

2.4.2 Nag3A 对其它合成底物的水解 当以该酶作用于合成底物 4-Methylumbelliferyl-N-Acetyl-α-D-Glucosaminide (Sigma 公司产品)4-Methylumbelliferyl-α-D-Glucoside (Sigma 公司产品)

品 \ 4-Methylumbelliferyl-α-D-Glucoside (Sigma 公司产品 \ 4-Methylumbelliferyl-α-D-Galactoside (Sigma 公司产品 \ 4-Methylumbelliferyl-α-D-Galactoside (Sigma 公司产品 \ 4-Methylumbelliferyl-α-D-Xyloside (Sigma 公司产品 \ 4-Methylumbelliferyl-α-D-Xyloside (Sigma 公司产品 \)和 4-Methylumbelliferyl-α-D-Cellobiopyranoside (Sigma 公司产品)和 4-Methylumbelliferyl-α-D-Cellobiopyranoside (Sigma 公司产品)时 ,未检测到水解活性 ,说明该酶对 β-N-乙酰氨基葡萄糖苷键具有专一性 .

3 结 论

- 1)用经过 PCR 扩增的编码 β -N-乙酰氨基葡萄糖苷酶的基因 nag3A 和质粒 pQE30T 所构建的表达质粒 pNAG3A 在 E. coli M15 中可以很好地表达该酶.
- 2)从载有 pNAG3A 质粒的 E. coli M15 中纯化得到的 Nag3A 以 4-MU-GleNAc 为底物时 ,最适作用 温度和最适作用 pH 分别为 50 ℃和 7.0 ;在30 ℃以下和 pH 6~9 之间该酶活性稳定.对 4-MU-GleNAc、4-MU-GleNAc λ_0 、4-MU- λ_0 、 λ_0 的 λ_0 0.02 λ_0 λ_0
- 3) Nag3A 可以水解几丁寡糖和几丁质,作用方式是从非还原端逐一水解 β -1 A-D-N-乙酰氨基葡萄糖苷键,产生 N-乙酰氨基葡萄糖,对几丁二糖具有较高的活性。

参考文献:

- [1] Evvyernie D , Yamazaki S , Morimoto K , et al . Identification and characterization of Clostridium paraputrificum M-21 , a chitinolytic , mesophilic and hydrogen-producing bacterium [J]. J Biosci Bioeng 2000 89 596 601 .
- [2] Evvyernie D , Morimoto K , Karita S , et al . Conversion of chitinous wastes to hydrogen gas by Clostridium paraputrificum M-21[J]. J Biosci Bioeng 2001 , 91 : 339 343 .
- [3] Bassler B L , Yu C , Lee Y C , et al . Chitin utilization by marine bacteria : degradation and catabolism of chitin oligosaccharides by Vibrio furnissif J]. J Biol Chem , 1991 266 24276 24286.
- [4] Shaikh S A , Deshpande M V. Chitinolytic enzymes: their con-tribution to basic and applied research J]. World J Microbiol Biotechnol , 1993 9: 468 475.
- [5] Soto-Gil R W , Zyskind J W. N , N⁹-Diacetylchitobiase of Vibrio harveyi [J]. J Biol Chem ,1989 264 :14778 14783.
- [6] Tsujibo H , Fujimoto K , Tanno H , et al . Gene sequence , purification and characterization of N-acetyl-β-glucosaminidase from a marine bacterium , Alteromonas sp. Strain O-7[J]. Gene ,1994 , 146:111 115.
- [7] Tsujibo H, Hatano N, Mikami T, et al. A novel beta-N-acetylglucosaminidase from Streptomyces thermoviolaceus OPC-520: gene cloning, expression, and assignment to family 3 of the glycosyl hydrolase [J]. Appl Environ Microbiol, 1998, 64: 2920 2924.
- [8] Tsujibo H , Hatano N , Mikami T , et al . Cloning , characterization and expression of β-N-acetylglucosaminidase gene from Streptomyces thermoviolaceus OPC-520[J]. Biochim Biophys Acta , 1998 ,1425(2): 437 440 .

(下转第52页)

mevinolinic acid in fermentation broth J J. J. Chromatogr A , 1995, 704, 363 – 367.

- [8]王春娜. HPLC 法检测功能红曲中的洛伐他汀[]. 北京农学院学报,2000,15(2)48-51.
- [9]张小茜,周富荣,石济民.高效液相色谱法测血脂康胶囊及红曲中洛伐他汀的含量[J].中国中药杂志,1997,22(4): 222-224.
- [10]张建国 ,刘文华. 紫外分光光度法测定洛伐他汀胶囊含量 J]. 中国生化药物杂志 ,1997 20(3):152.
- [11]宋洪涛,郭涛,宓鹤鸣,等. 薄层扫描法测定血脂平胶囊中洛伐他汀的含量[J]. 中草药,1997,28(12):723-725.
- [12] Strode J T B , Taylor L T , HOWARD A L , et al . Feasibility of lovastatin analysis by packed column supercritical fluid chromatography with ultraviolet detection [J]. J Pharm Biomed Anal , 1999 20:137 143.
- [13] Matilde Manzoni , Manuela Rrllini , Silvia Bergomi , *et al* . Production and purification of statins from *Aspergillus terreus* strains [J]. **Biotechnology Techniques** , 1998 ,12 529 532.
- [14] Akira Endo. Monacolin K , a new hypocholesterolemic agent that specifically inhibits 3-Hydroxy methylglutaryl coezyme A redutase J]. J Antibiotics , 1980 33 334 337.

(责任编辑:杨勇)

(上接第45页)

- [9] Cheng Q Li, H Merdek K. Molecular characterization of the β-N-acetylglucosaminidase of Escherichia coli and its role in cell wall recycling J]. J Bacteriol, 2000, 182:4836 4840.
- [10] Chitlaru E , Roseman S. Molecular cloning and characterization of a novel β -N-acetyl-D-glucosaminidase from Vibrio furnissii [J]. J Biol Chem , 1996 271 : 33433 33439.
- [11] Morimoto K, Karita S, Kimura T, et al. Sequencing, expression, and transcription analysis of the *Clostridium* paraputrificum chiA gene encoding chitinase ChiA[J]. Appl Microbiol Biotechnol, 1999, 51:340 347.
- [12] Morimoto K, Karita S, Kimura T, et al. Cloning, sequencing, and expression of the gene encoding Clostridium paraputrificum chitinase ChiB and analysis of the functions of novel cadherin-like domains and a chitin-binding domair [J]. J Bacteriol, 1997, 179, 7306 7314.
- [13] Morimoto K, Karita S, Kimura T, et al. Characterization of Clostridium paraputrificum Chitinase A from a Recombinant Escherichia coli[J]. J Biosci Bioeng, 2001, 92:466-468.
- [14] Li H , Morimoto K , Katagiri N , et al . A Novel β-N-Acetylglucosaminidase of Clostridium paraputrificum M-21 with High Activity on Chitobios [J]. Appl Microbiol Biotechnol , 2002 60(4):420 427.
- [15] Mursheda K A , Hayashi H , Karita S , et al . Importance of the carbohydrate-binding module of Clostridium stercorarium Xyn10B to xylan hydrolysis J]. Biosci Biotechnol Biochem , 2001 65:41-47.
- [16] O 'brien M , Colwell R R. A rapid test chitinase activity that uses 4-methylumbelliferyl-N-acetyl-β-D-glucosaminide J]. Appl Environ Microbiol , 1987 53:1718 1720.
- [17] Bradford M M. A rapid and sensitive method for the quantitation of protein utilizing the principle of protein-dye binding J J. Anal Biochem, 1976, 72:248-254.
- [18] Laemmli U.K. Cleavage of structural proteins during the assembly of the head of bacteriophage T4 J]. Nature , 1970 227:680 685.

(责任编辑:李春丽)